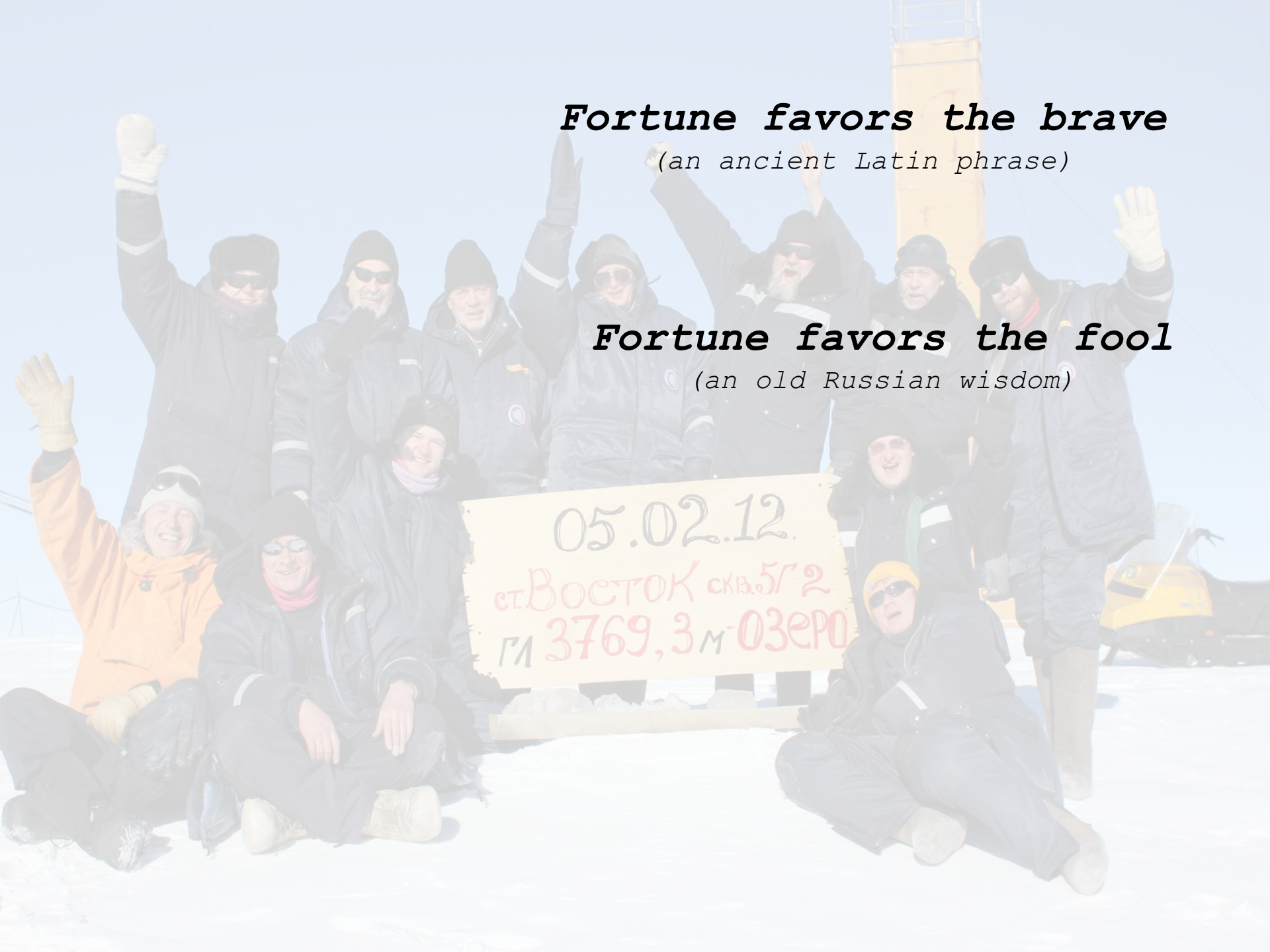




Drilling the Ice from the Past to the Future

★ **Vostok**

Alexey A. Ekaykin
Arctic and Antarctic Research Institute,
St. Petersburg, Russia



Fortune favors the brave

(an ancient Latin phrase)

Fortune favors the fool

(an old Russian wisdom)

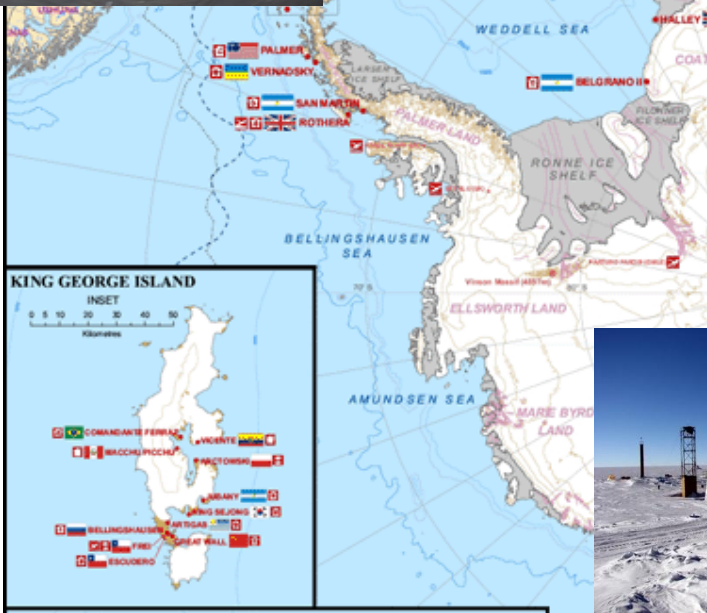
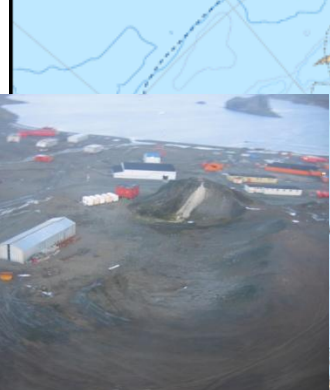
05.02.12.

ст.ВОСТОК скв.572
г/я 3769, 3 м-03 еро

Fortune favors the brave

(an ancient Latin phrase)





 Vostok



Vostok Station

Altitude: 3490 m a.s.l.

Mean annual temperature: -55.5°C

(coldest place on Earth)

Precipitation rate: 23 mm

(60 times less than in Ljubljana)



Operating as wintering-over station since 16 December 1957



Scientific activity

Meteorological observations

Observations of magnetosphere

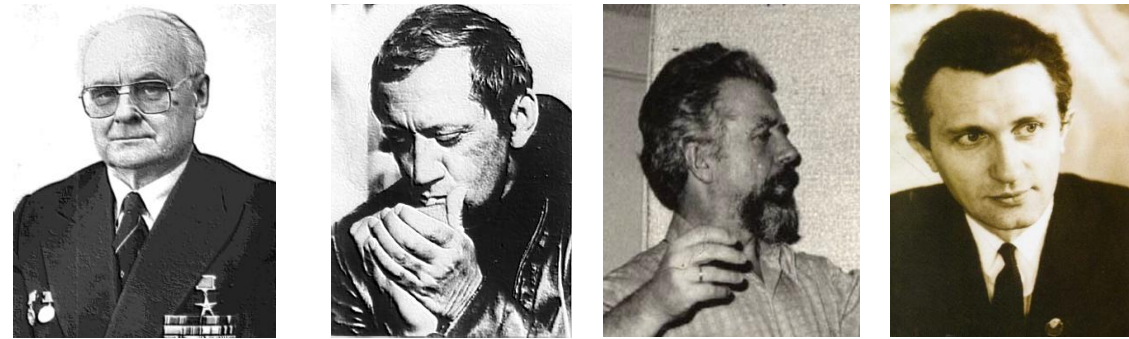
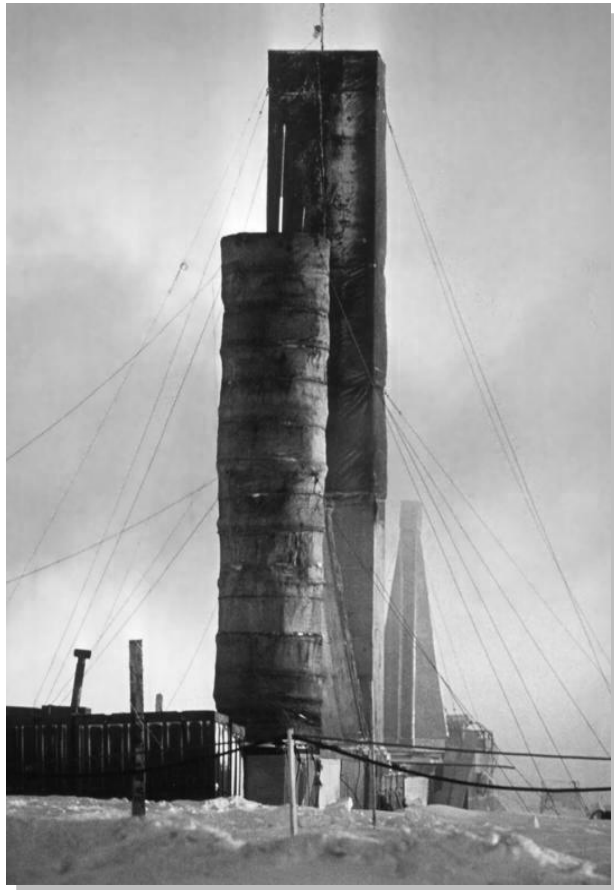
Ground glaciological observations

Deep ice coring

Lake Vostok studies



1970: beginning of the deep drilling (nothing to do with the Lake yet)



ГЛАВНОЕ УПРАВЛЕНИЕ ГИДРОМЕТЕОРОЛОГИЧЕСКОЙ СЛУЖБЫ
ПРИ СОВЕТЕ МИНИСТРОВ СССР
ОРДЕНА ЛЕНИНА АРКТИЧЕСКИЙ И АНТАРКТИЧЕСКИЙ
НАУЧНО-ИССЛЕДОВАТЕЛЬСКИЙ ИНСТИТУТ

ИНФОРМАЦИОННЫЙ БЮЛЛЕТЕНЬ СОВЕТСКОЙ АНТАРКТИЧЕСКОЙ ЭКСПЕДИЦИИ

90
1975

ГИДРОМЕТЕОРОЛОГИЧЕСКИЙ
ИНСТИТУТ
САНКТ-ПЕТЕРБУРГ

БЮЛЛЕТЕНЬ
СОВЕТСКОЙ АНТАРКТИЧЕСКОЙ ЭКСПЕДИЦИИ № 90, 1975

Арктический и антарктический
метеорологический институт
Московский государственный
университет
Арктический и антарктический
метеорологический институт
Институт географии АН СССР
И. Н. БАРКОВ
Ф. ГОРДЕНКО
Е. С. КОРТОКЕВИЧ
Н. М. КОТИЯКОВ

Изотопно-кислородные исследования 500-метрового ледяного коряна
из скважин станции Восток

Ледяника, как и все природные воды на Земле, состоит из трех изотопных разновидностей воды. При этом более 99,9% приходится на воду H_2O^{16} , около 0,2% на H_2O^{17} и около 0,009% на H_2O^{18} .

Воды, имеющие изотопные отличия от стандартной воды, называются изотопными водородом и кислородом (D и O^{δ}), отличаются от воды H_2O^{16} меньшей паскальской упругостью воды пара. Поэтому испарение изотопных вод происходит быстрее, чем из воды H_2O^{16} . Изотопный компонент фракционного испарения обогащается, а волной пар обогащается тяжелыми изотопами.

Поэтому в атмосферной влаге, а значит и в атмосфере, как и во всех природных водах, имеется изотопный градиент, называемый изотопным градиентом атмосферной влаги.

Воды, имеющие изотопные отличия от стандартной воды, называются изотопными водородом и кислородом (D и O^{δ}).

Стандартная средняя антарктическая вода (SMOW) принимается в этом отчете за единицу изотопного соотношения $\text{D}/\text{H}_2\text{O}^{16}$ и O^{δ} .

Изотопные концентрации изотопов в пробах оцениваются в виде отклонения δ от концентрации в SMOW в тысячных долях (‰).

В атмосфере изотопы водорода D и O^{δ} убывают с увеличением расстояния от океана и повышением температуры атмосферы. Поэтому осадки, выпадающие в центральных районах Антарктиды, имеют изотопные отличия, лежащие между 11 и 16 ‰. Харacterизованы следующими изотопными соотношениями: $\delta \text{D} = -80$ и -82 ‰ относительно SMOW. В связи с сезонными изменениями температуры в атмосфере концентрации D и O^{δ} в осадках изменяются. В зимнее время осадки более изобогащены изотопами, чем летние [10, 12, 16].

Изложенные особенности атмосферных осадков позволяют определить изотопные соотношения образующихся осадков в виде кернов при бурении скважин, реконструировать палеотемпературные условия, в которых накапливался снег, образовавший коньку

195 образцов талыши от 3 до 10 см. Интервалы между ними составляли от 0,1 до 1 м. Результаты анализа показали, что значения δO^{18} в соседних образцах, как правило, изменяются в пределах ± 0,5‰ при максимальном разбросе до 12‰ (−47 и +59‰). Исследование показало, что образцы, взятые из талыхни за короткий период времени, обладают значительным разбросом значений δO^{18} . Поэтому для палеоклиматической интерпретации полученные результаты группированы по глубинам и в каж-

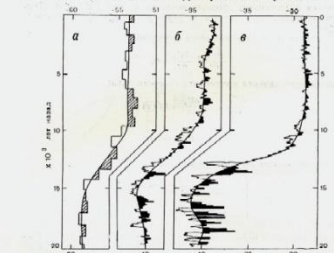
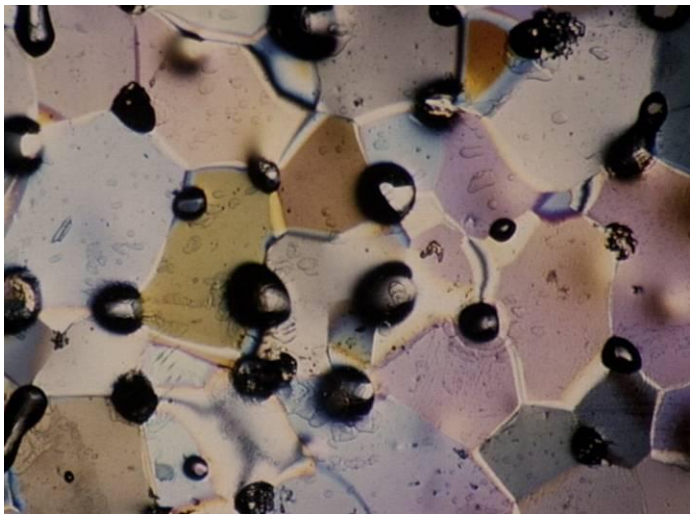


Рис. 3. Вертикальные профили изотопа O^{18} в ледяных покровах на станциях Восток (a), Бaulk (b) и Кomsомольск (c), взятые в последние 20 тысяч лет.

дом 20-метровых интервалов определяли средние величины δO^{18} . С помощью выражения (2) рассчитаны возрасты льда на различных глубинах и на этих данных построены графики (a), изображенные на рис. 3.

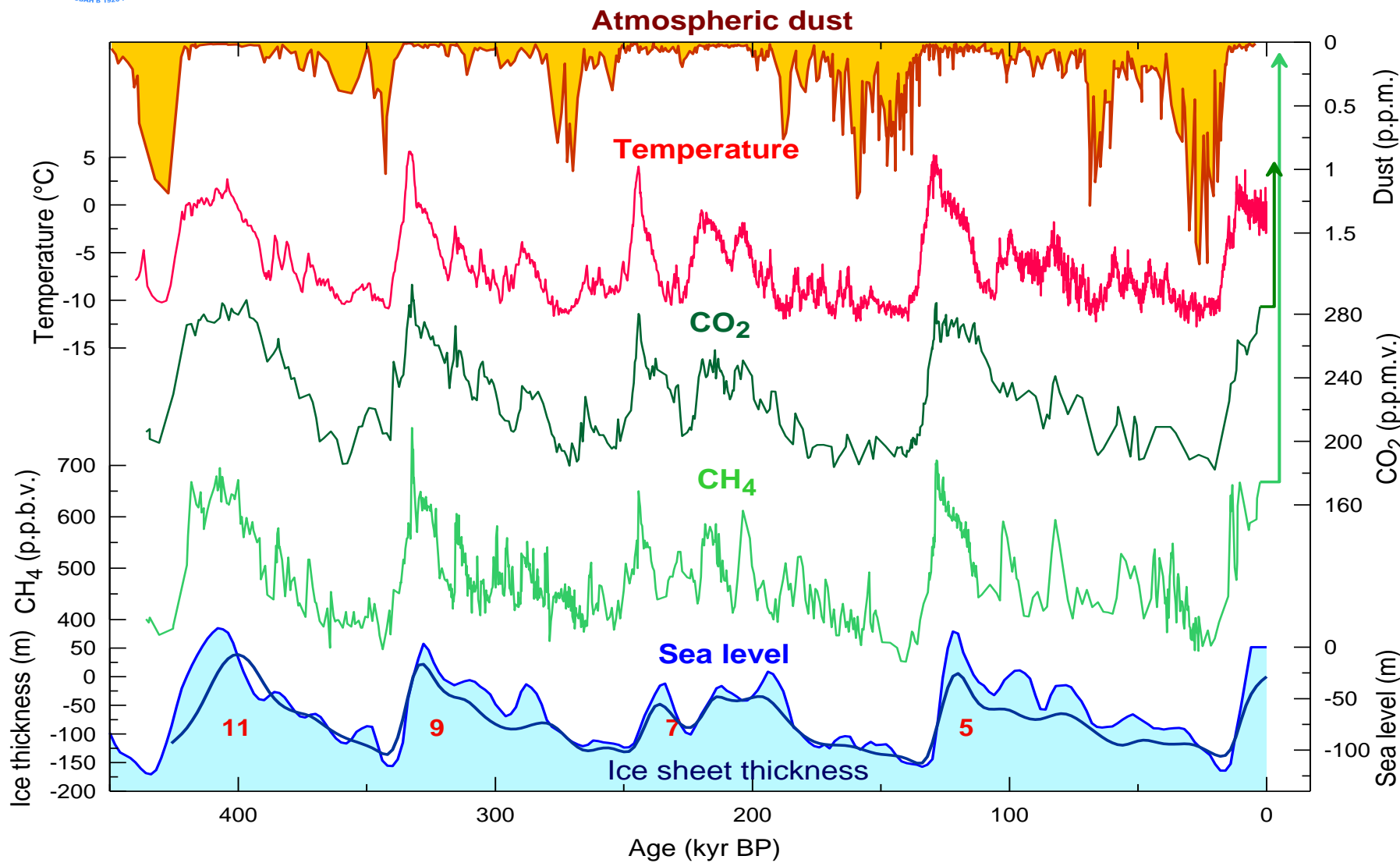
Составление изотопного профиля станции Восток с профилем станций Барса и Кеми Северного полюса показывает, что они имеют одинаковую модель. Изотопные соотношения изотопов кислорода в атмосферных осадках, никогда образовавших чистые ледники, произошло почти одновременно в Гренландии и в Антарктиде. В равных станции Барса и Кеми Северного изменились со-

Deep ice drilling to study the remote past



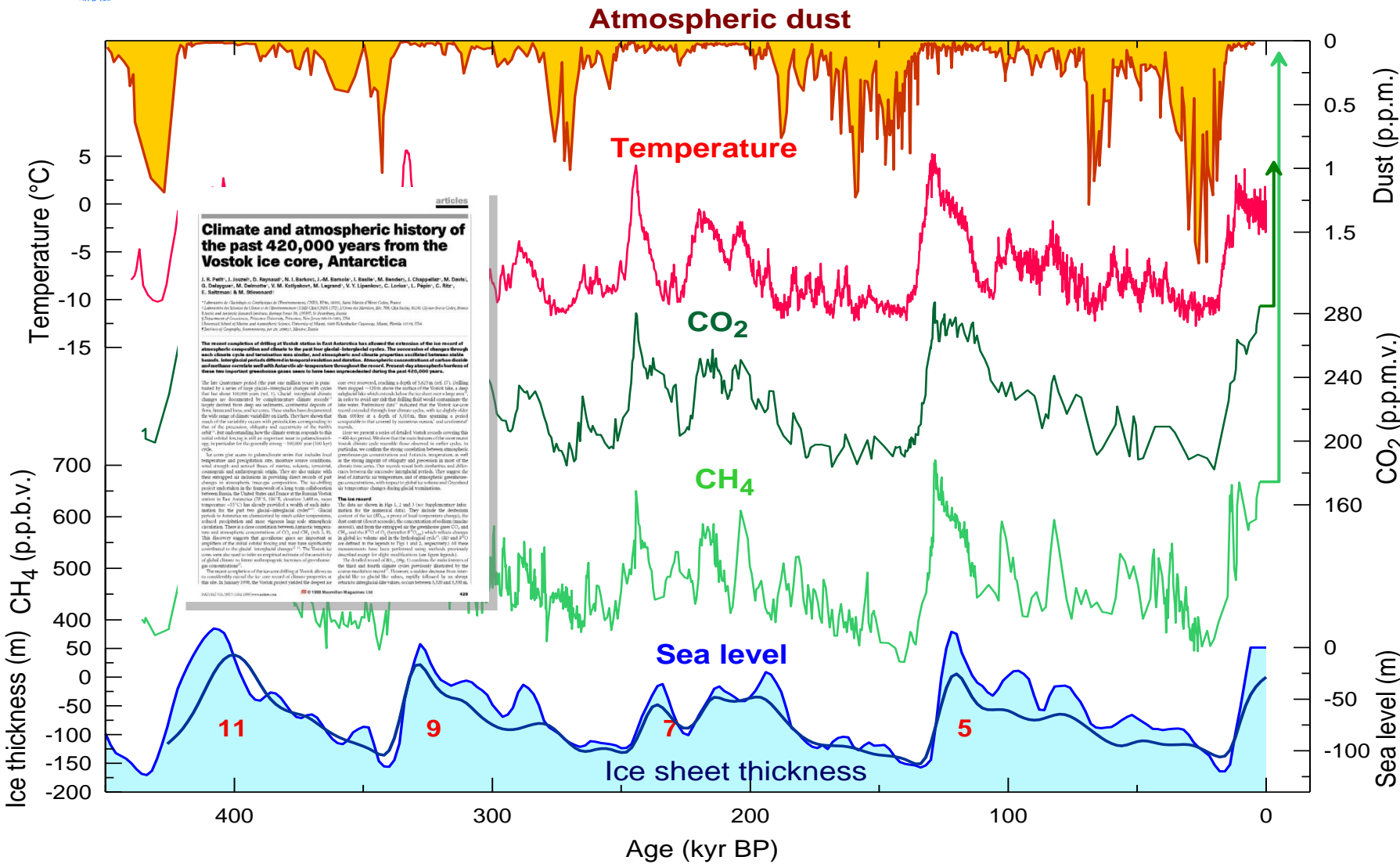


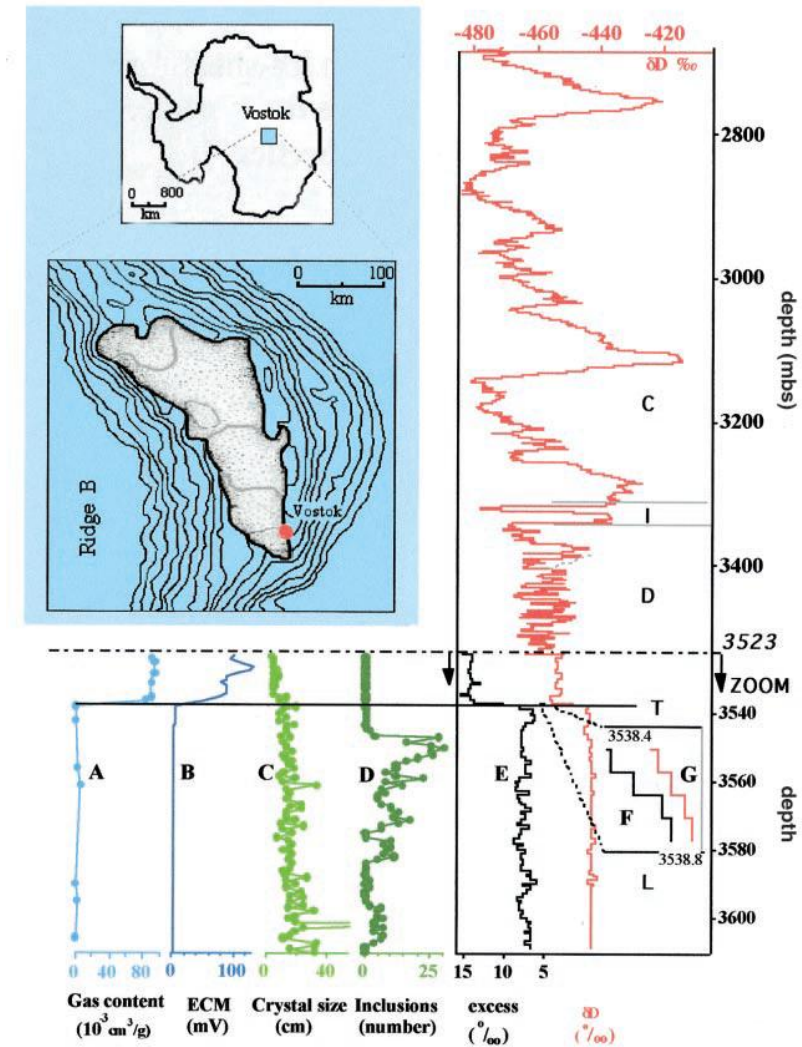
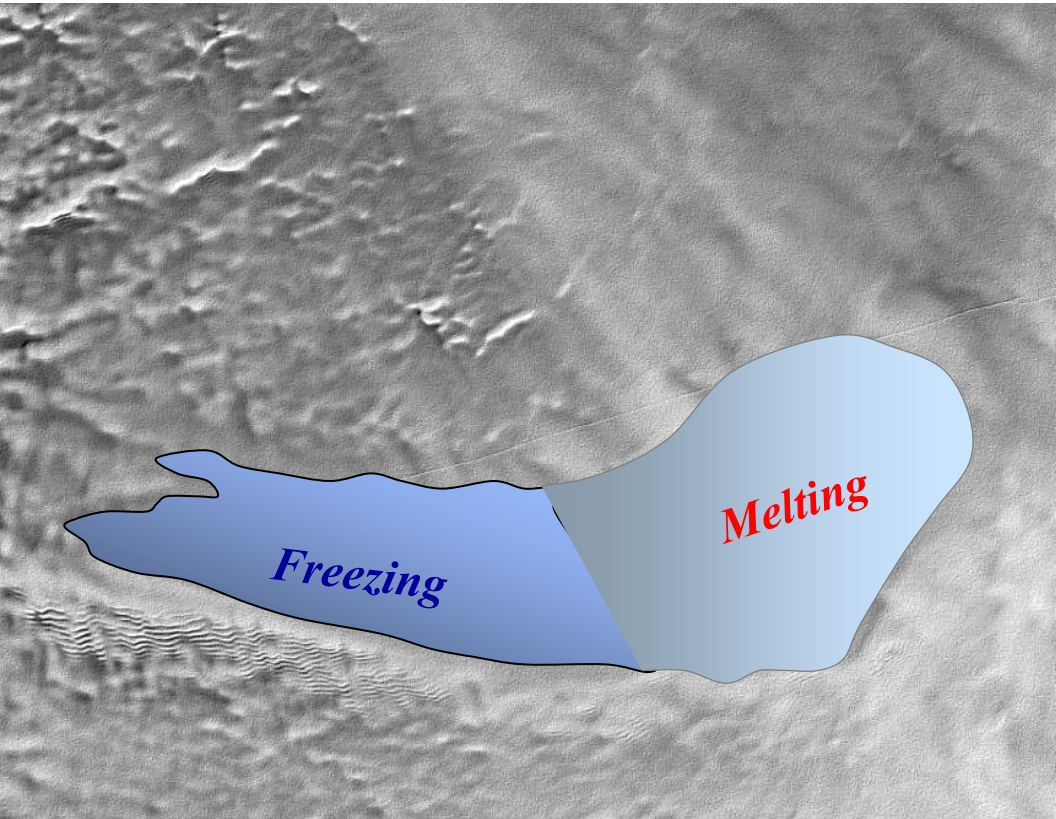
"Cornucopia of paleoclimatic data"





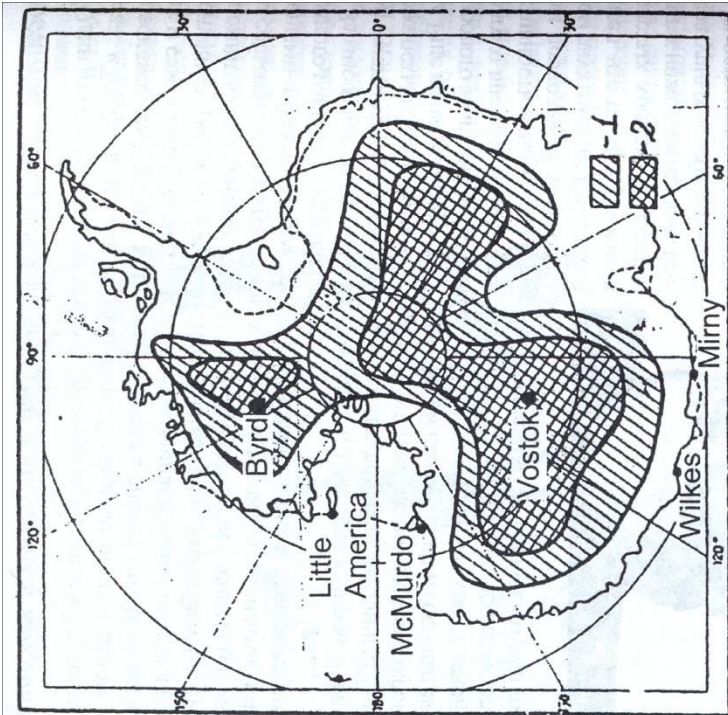
“Cornucopia of paleoclimatic data”







Can melt-water exist under deeply frozen Antarctic glacier?



Igor Zotikov
(1926-2010)

Byrd Station, 2164 m (29 January 1968)

Ueda: Byrd Station drilling 1966–69

25

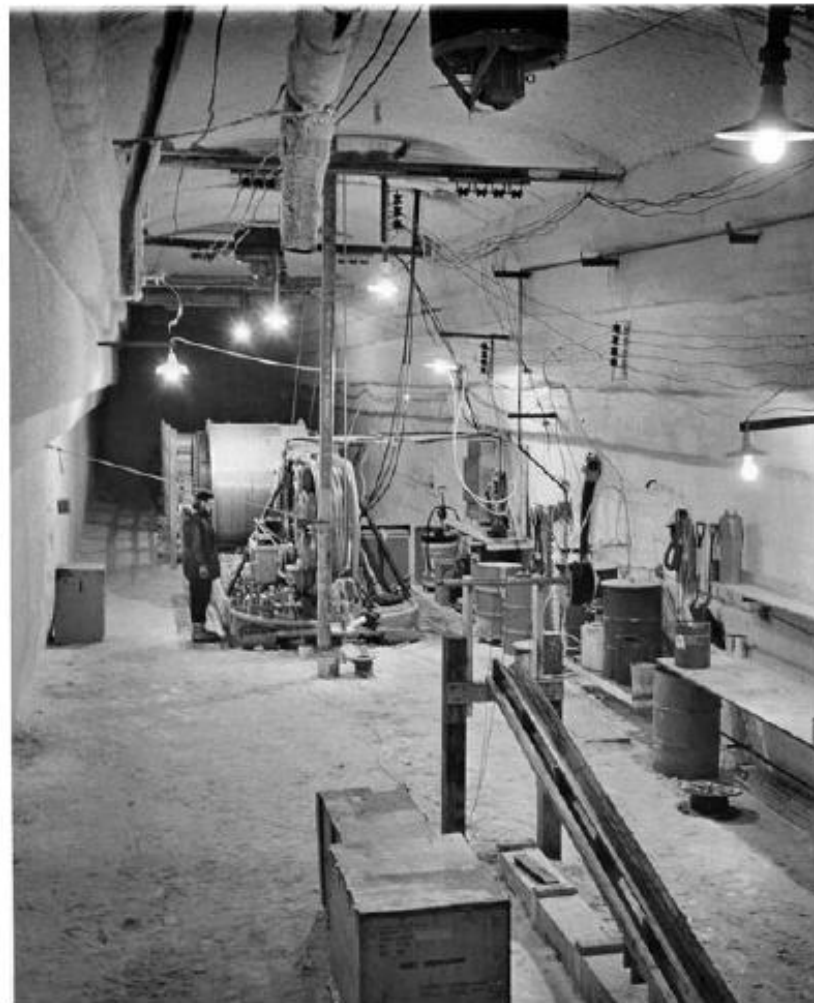


Fig. 2. Winch set-up in main tunnel, 1966.

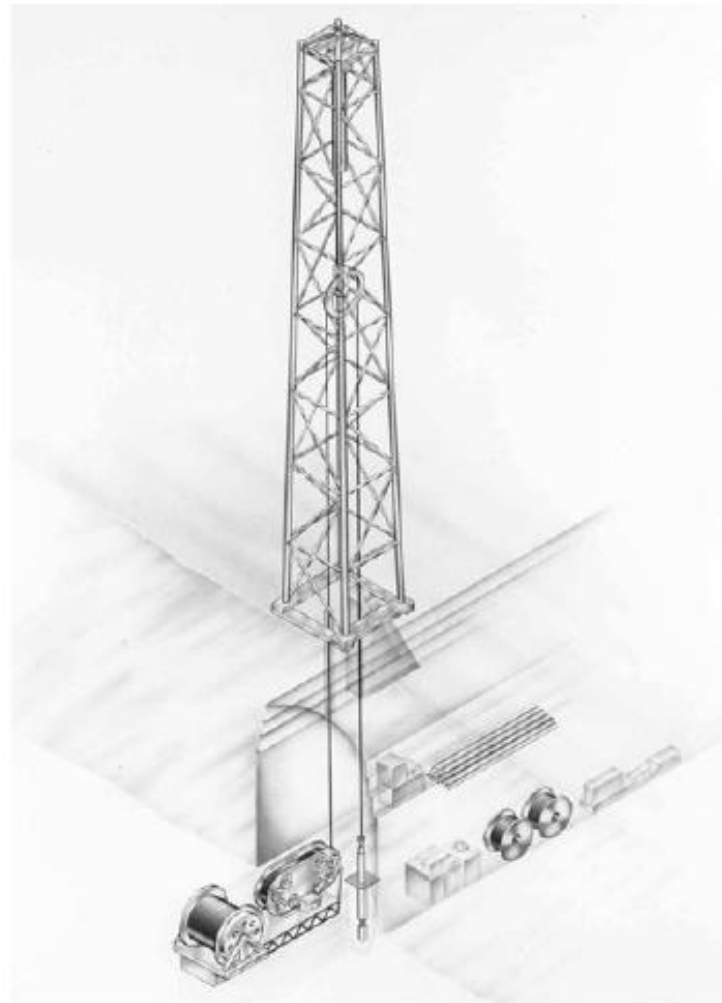


Fig. 3. Overall drilling set-up, Byrd Station, 1966.



Andrey Kapitsa
(1931-2011)

Two-way travel time (s)

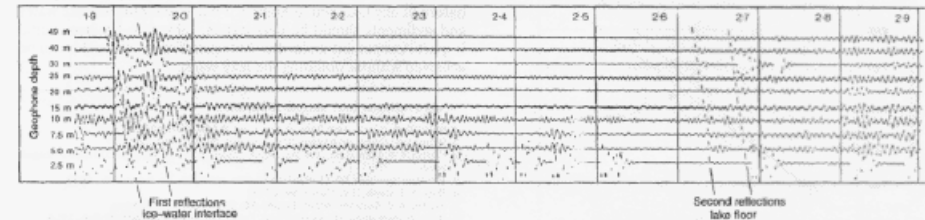


FIG. 2 Section of 24-channel seismic record from Vostok relevant to the sub-ice water layer. This records movement over a vertical line of seismometers from 49 m to 2.5 m depth in a borehole 180 m from the explosion. It covers a period from 1.85 to 2.9 seconds after the explosion of 5 kg of TNT at 39 m depth and 180 m from the vertical seismometer line. A conventional horizontal spread of twelve seismometers at 20-m intervals recorded the same echoes (not shown) at ~1.92 and ~2.65 s against a much higher background noise. The echo from the base of the floating ice reaches the deepest (49 m) seismometer first at ~1.91 s. It then travels up the seismometer line to the surface where it is reflected down to pass the

49-m seismometer ~50 ms later. This has a mean velocity of $\sim 2,200 \text{ ms}^{-1}$, typical of compression (P) waves in the top 50 m of firn in this region¹². About 45 ms after the first arrival, a second wave train of similar intensity and duration follows as a result of the initial surface reflection of the explosion at 39 m depth. There is no significant return of energy between ~ 2.00 and ~ 2.63 s, when a weaker wave train passes up and down the seismometer line at the same velocity. This confirms that they are compressive (P) waves, the only waves that travel through water, and not transverse (PS) waves, which are sometimes recorded from shots on ice shelves.

both likely, our best estimate of the residence time of the lake water is of the order of 50,000 years.

Other features of the water mass can be deduced from the relationship between surface elevation and thickness of floating ice (Fig. 4). The close scatter of points around the freshwater line (Fig. 4) indicates a hydraulic pressure equivalent to a head of water close to 3,140 m above sea level over the whole lake. It also confirms the presence of relatively fresh water in the lake. Any difference between the mean slope of plotted points and the freshwater line could be due to residual effects from boundary stresses, to errors of ice thickness and/or to the effect of limited salinity on water density within a range of 0.00 and 0.05‰.

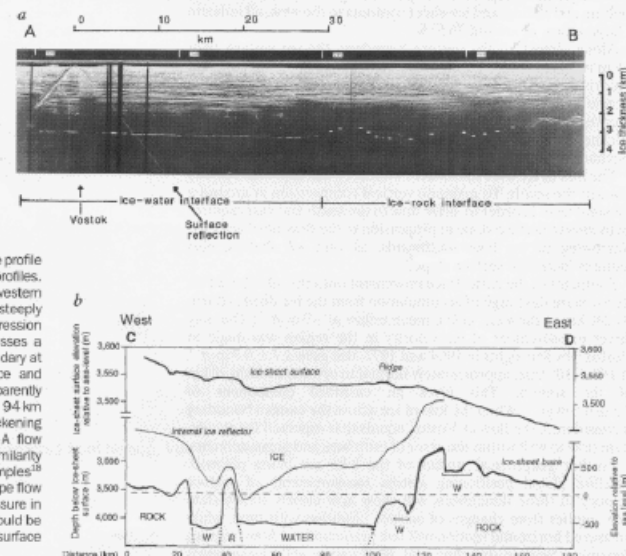
The decrease of ice thickness of ~ 500 m from north to south of

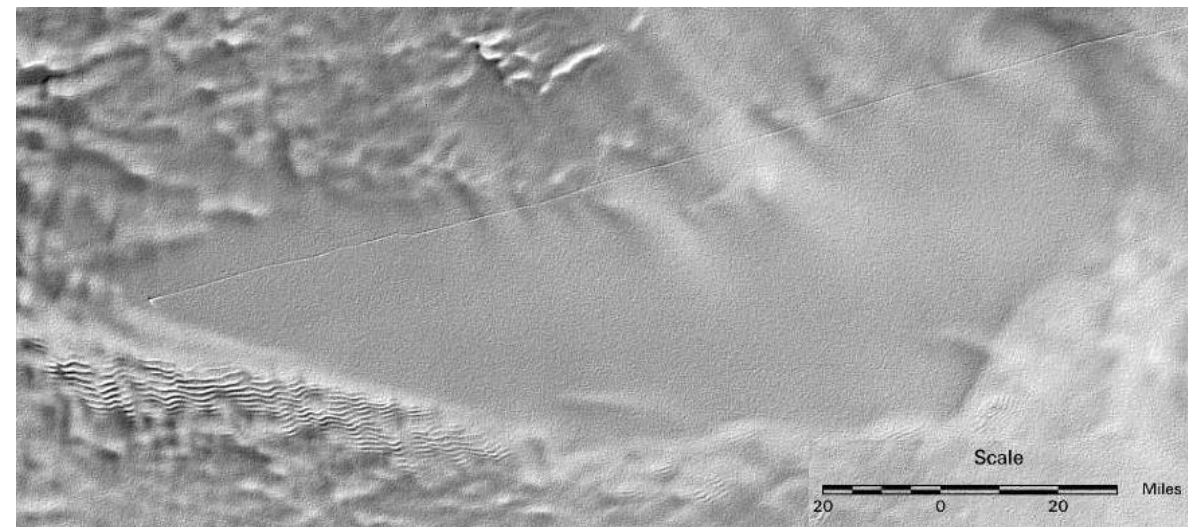
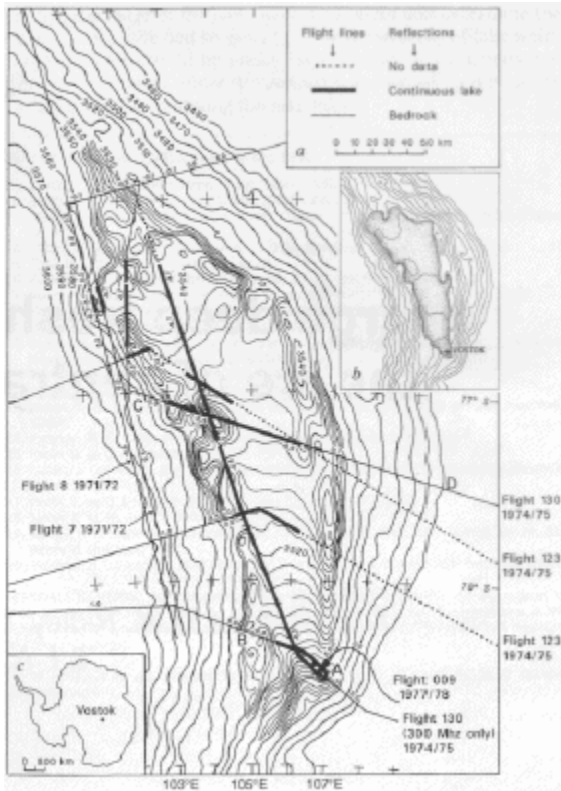
the lake means that the ice–water contact temperature will be 0.4 °C lower at the north than at the southern end. This may be sufficient to drive slow circulation of sub-ice water and affect basal heat flow distribution over the lake, but not the total heat flux.

Ice cores from Vostok contain micro-organisms^{13,14} carried by air to Antarctica on dust particles from low latitudes. Melting of basal ice will release these microorganisms into lake water around one million years after deposition on the ice surface. Sediments on the lake bed may be several million years older, an exceptional environment that should provide useful information to the biological community and to geologists.

The lake occupies the lower part of a basin or rift (Figs 1, 3b). Unlike grounded ice, basal drag is negligible over an ice–water

FIG. 3 Two-dimensional vertical profiles. a, Continuous RES profile from flight 009, 1977–78, along line A–B in Fig. 1a. Strong ice–water reflections beneath Vostok and for ~ 30 km give way to weaker echoes from ice–bedrock further west. White dots have been added to show the location of weak bedrock echoes where they are not clearly visible. The near-horizontal layering in the upper 2 km is due to higher-conductivity layers of ice resulting from widespread deposition of volcanic material over the ice sheet¹⁵. Slanting echoes show reflections from surface buildings as the aircraft passed over Vostok. b, Cross-section along line C–D in Fig. 1a, showing deep-continuous RES layer. The vertical scale of the surface profile is increased to 100 times that of the deep profiles. Surface valleys around 30 and 50 km near the western boundary are due to down-slope motion over steeply falling bedrock, opposed by horizontal compression that continues over the lake. After the ice crosses a rock ridge approximately parallel to the lake boundary at 40 km, a deeper valley is formed. The surface and reflecting layer then rise from 50 to 70 km, apparently above faster, southward-moving ice. From 70 to 94 km the surface is almost level, with slight ice thickening probable, until the lake boundary is crossed. A flow component to the east is then indicated by the similarity of the profile in b to that across the Doake Ice Rumples¹⁶ (77.7° S, 66.6° W) to the Ronne Ice Shelf. Up-slope flow appears to be initiated and driven by vertical pressure in both cases. The alternative to this flow pattern would be an ice divide, with static ice below an almost flat surface for at least 10 km to either side.



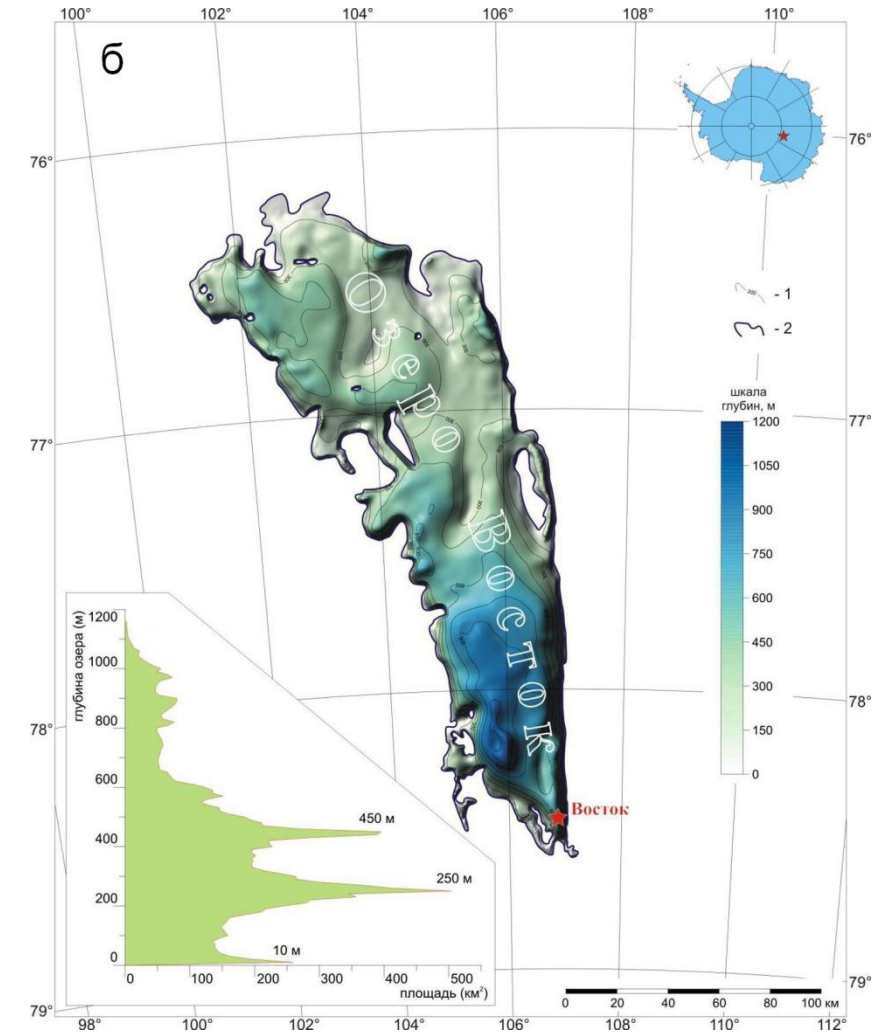
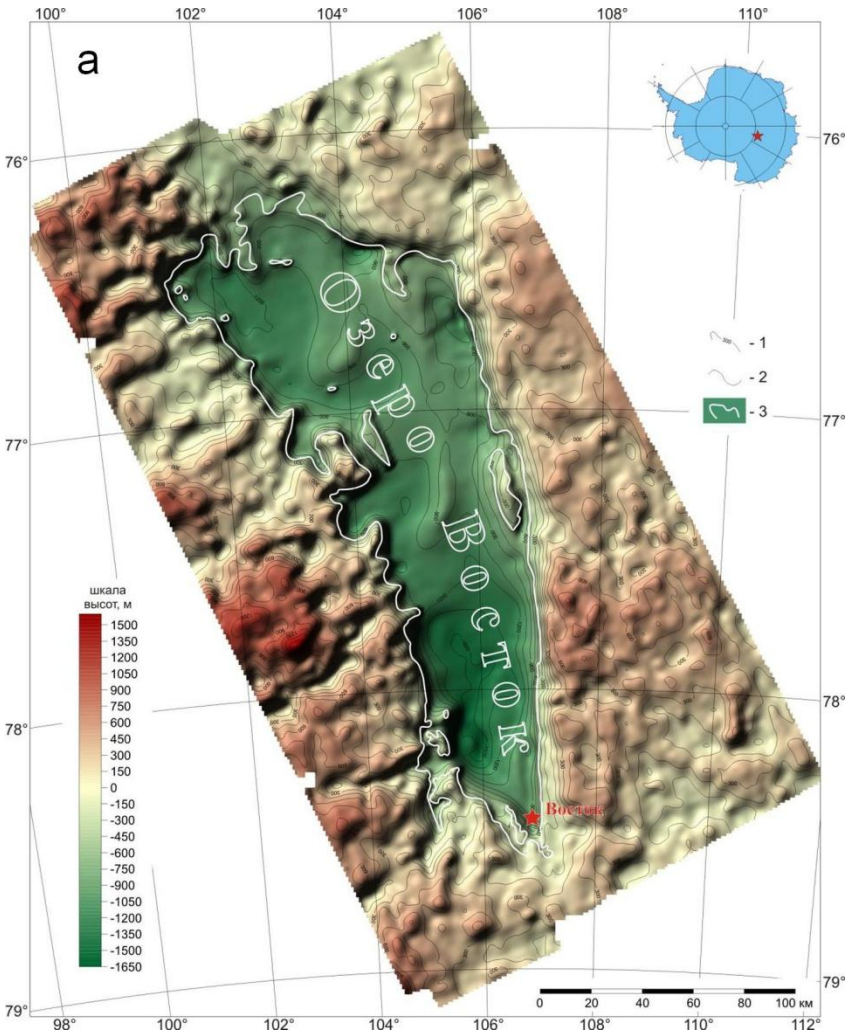


Ridley et al., 1993

Gordon de Q. Robin, 1970s

Lake Vostok:

The 5th largest lake in the world!

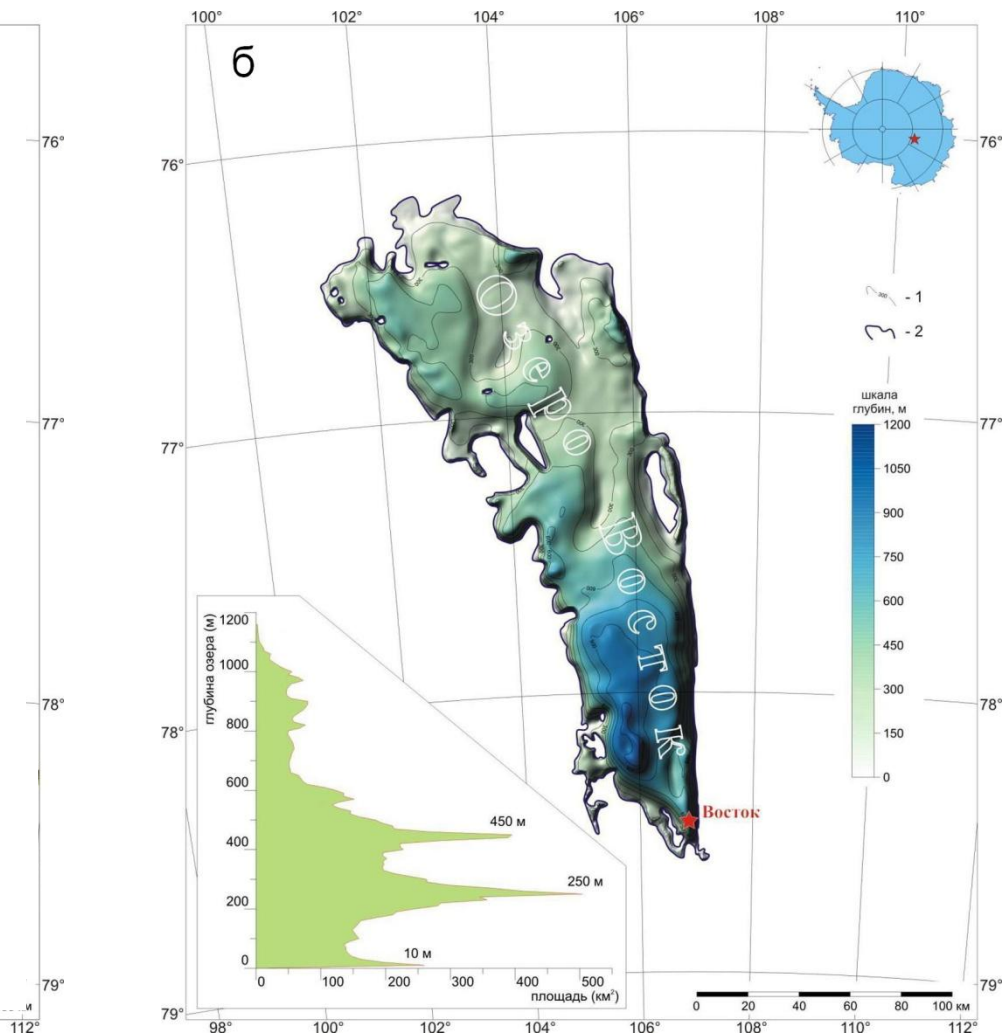
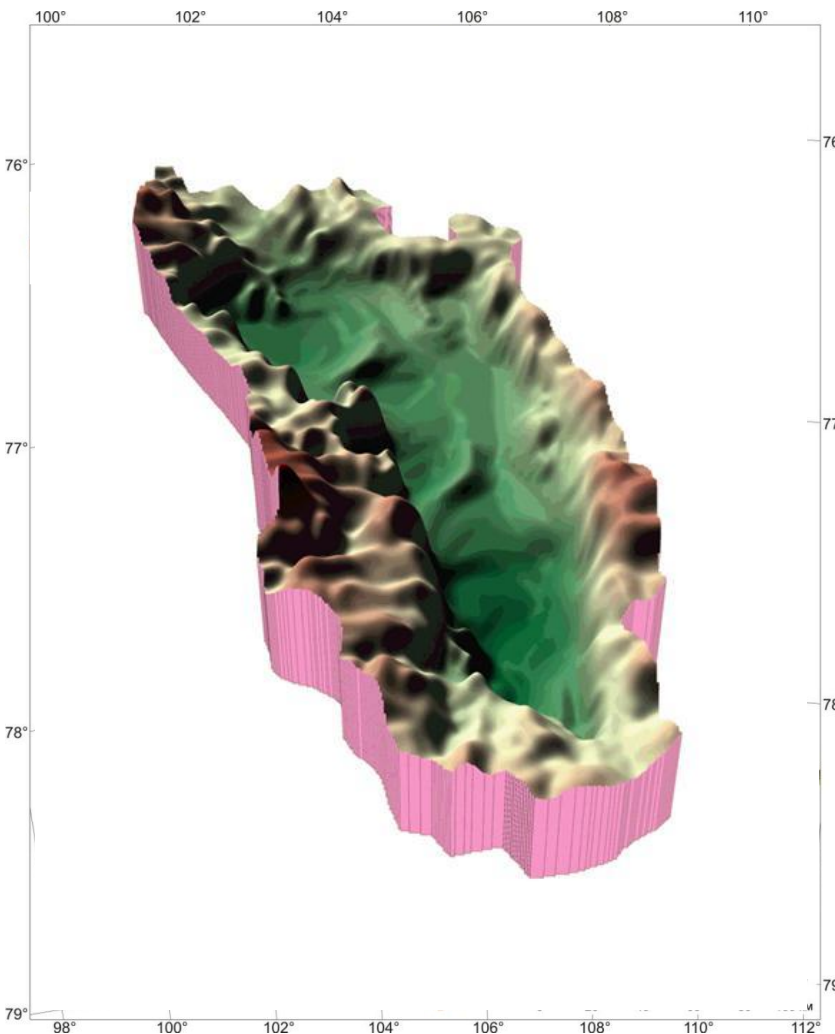


Popov et al., 2011



Lake Vostok:

The 5th largest lake in the world!

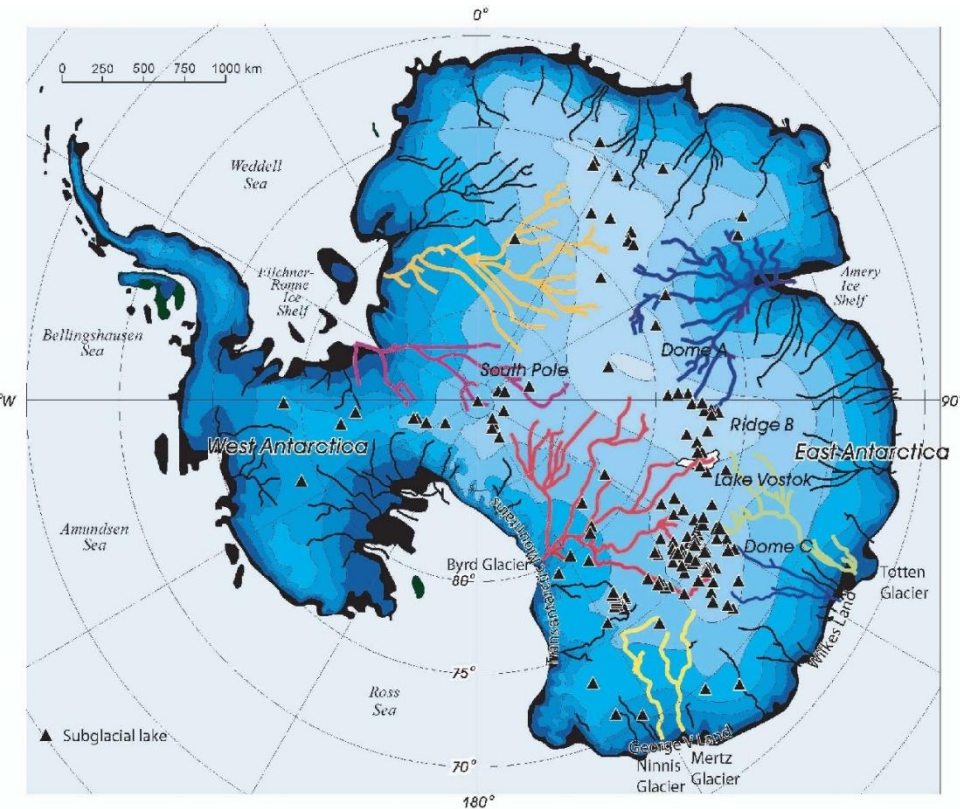


Popov et al., 2011

Aquatic environments beneath the Antarctic ice sheet

>22,000 km³ of water in >145 sub-ice lakes:

- Affect ice sheet and ice stream dynamics
- Control drainage of the EAIS and contribute to sea level rise
 - Provide a “Natural laboratory for ecological experiments”, and
- Earth-bound analogues for extraterrestrial ice worlds



Subglacial lakes and major drainage routines from Siegert et al., 2007

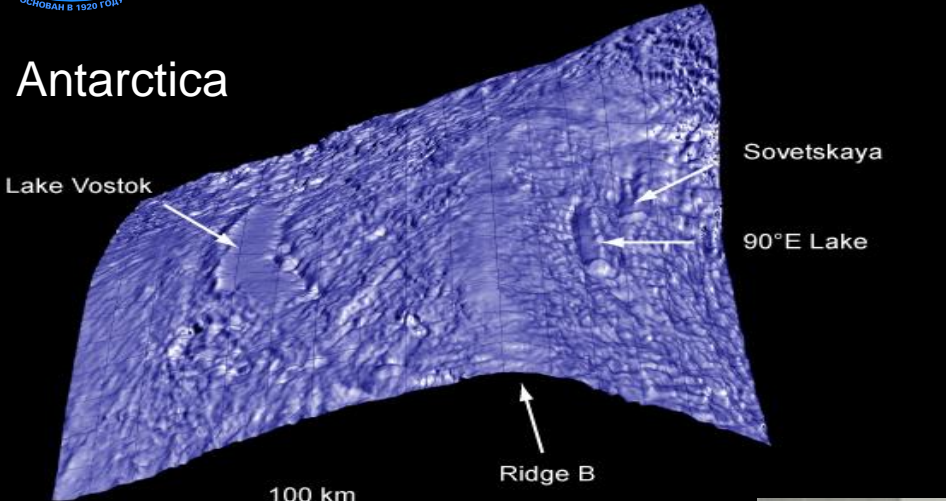




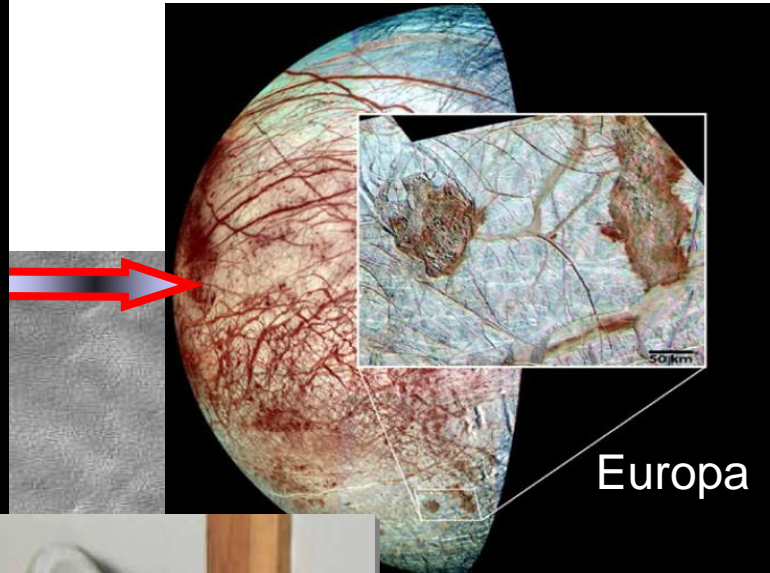


Why Lake Vostok?

Antarctica



Studinger, 2006 /Bell et al.



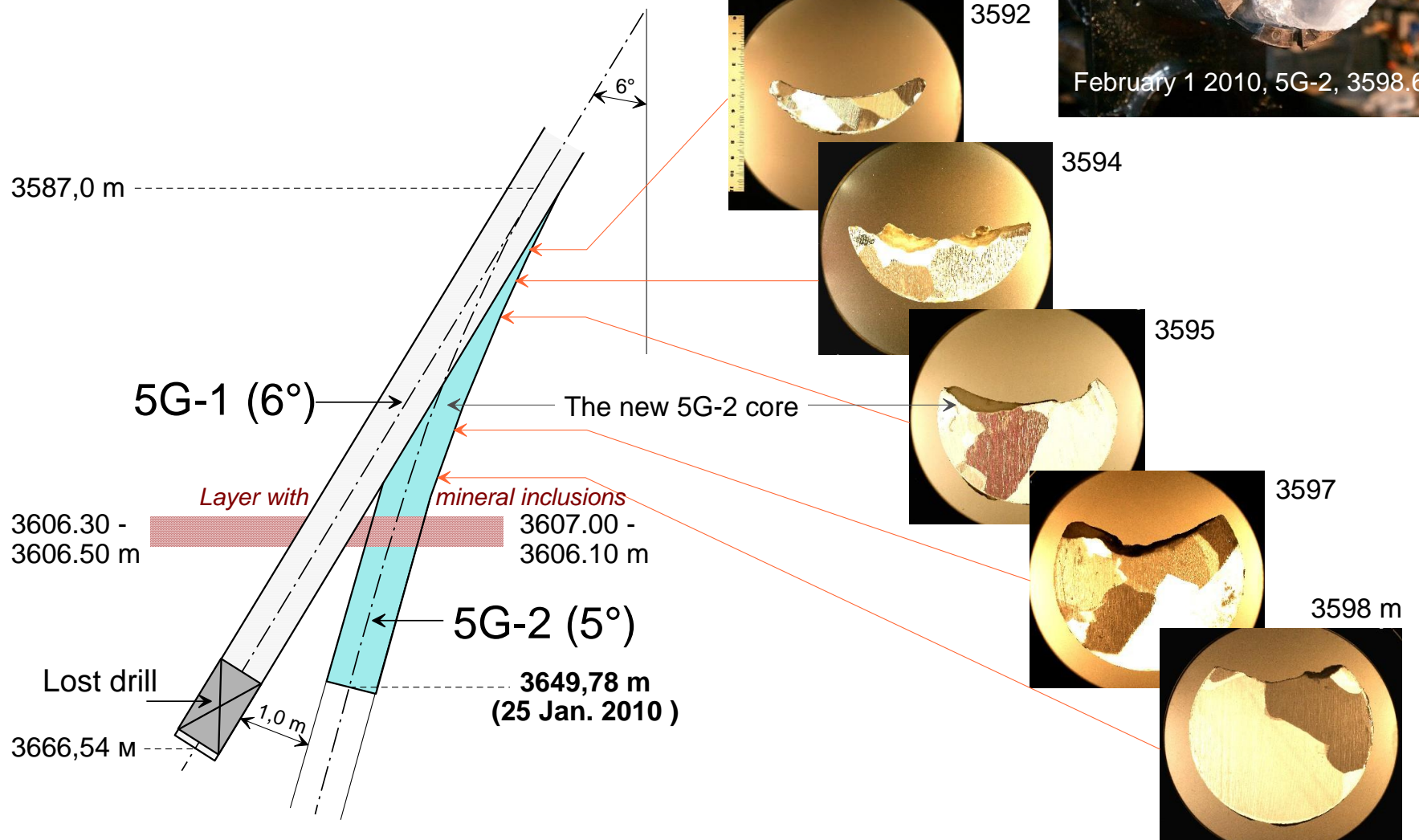
VOSTOK



230 m of accreted lake ice

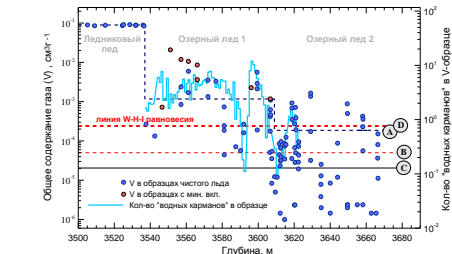
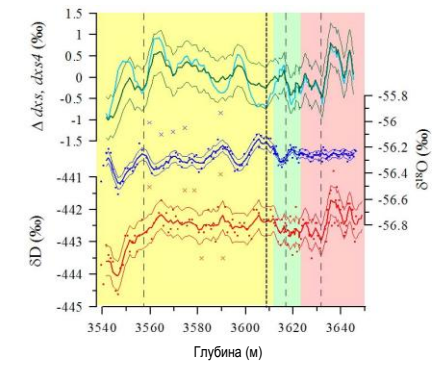
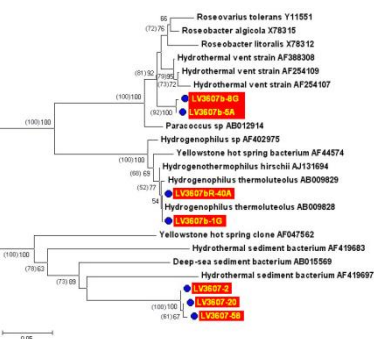
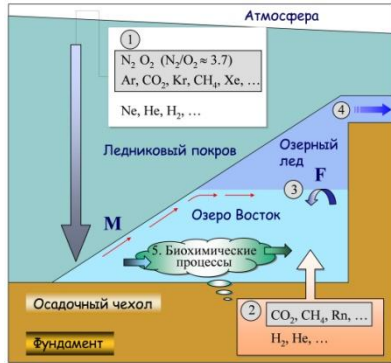


From 5G-1 to 5G-2



What do we know about the Lake Vostok?

- Accumulation of impurities coming to the lake due to glacier ice melting
- Hydrothermal activity at the lake bottom
- High concentration of gases including oxygen!
- Not perfect mixing of melt water with the resident lake water
- Ultra-oligotrophic environment
- Expected micro-organisms: oxygenophilic chemoautotrophs





2 January – 5 February 2012



Show must go on, Alexey

Now the time for some pictures













Bistro











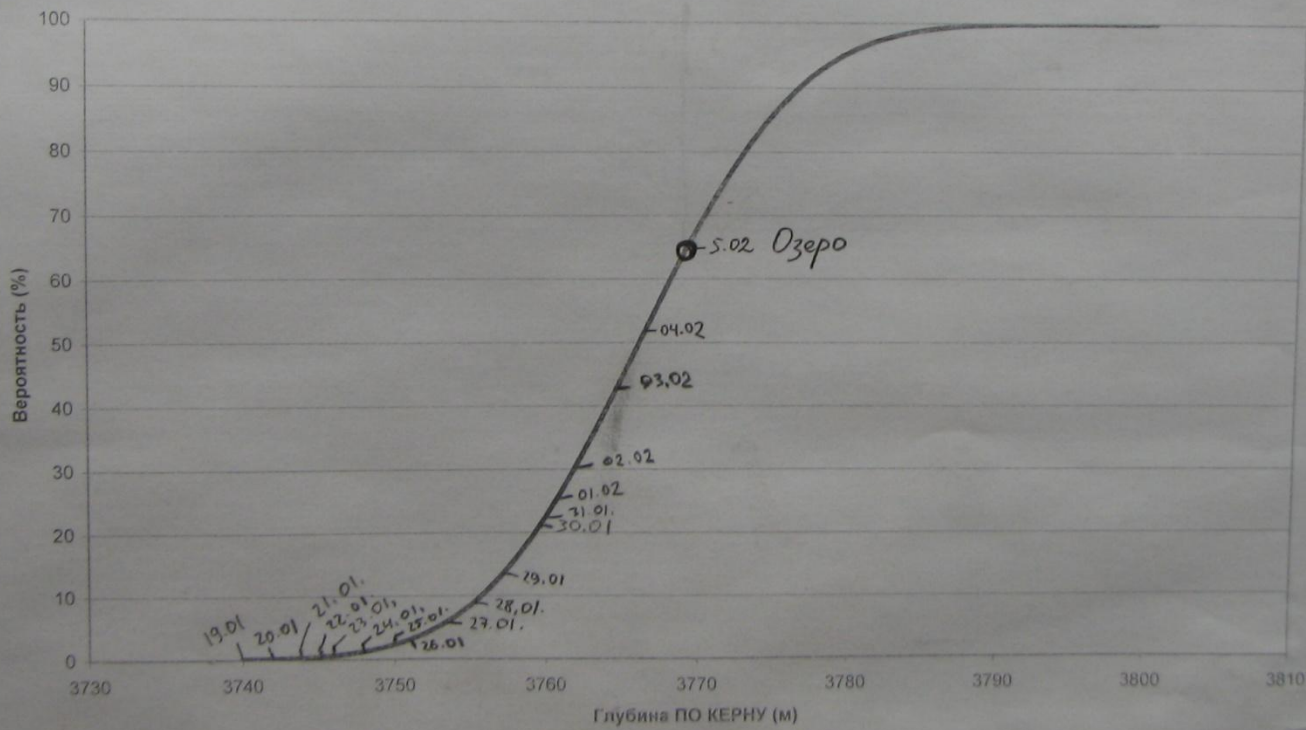




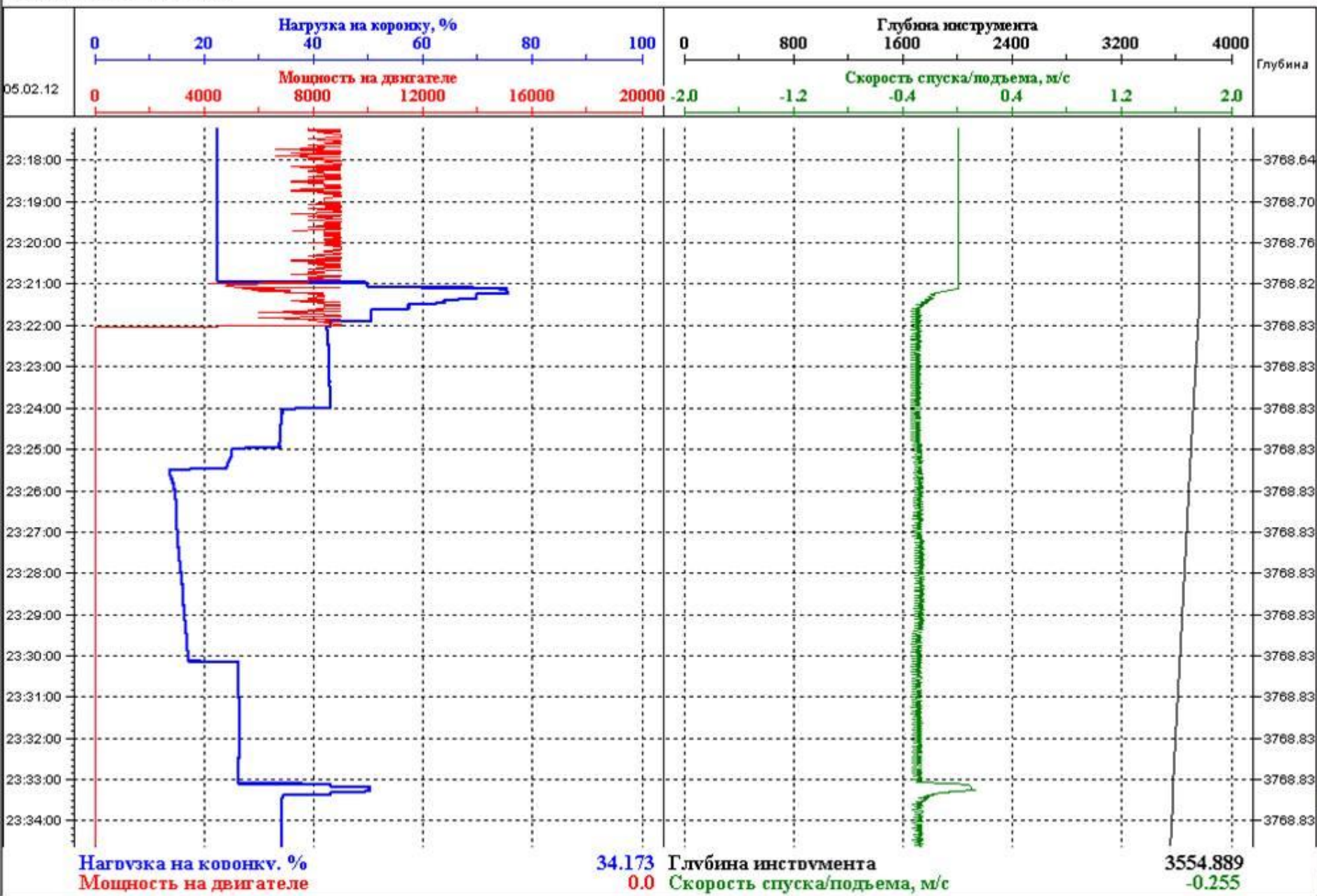


График нарастания интегри

Вероятность проникновения в озеро при достижении данной глубины



63.93ms...Нагрузка на коронку, %

























3722 3723 3724

57 PAЭ
5Г-2

3745

57 PAЭ

5Г-2

3746

57 PAЭ

5Г-2

3747

57 PAЭ

5Г-2

67

57 PAЭ

5Г-2

3768

57 PAЭ

5Г-2

3769

- PAЭ

5Г-1

3700
21.01.2011

55-2
3598,6
02.02.2006

3540

08.01.98

05.02.2012

29.01.98

22.01.98

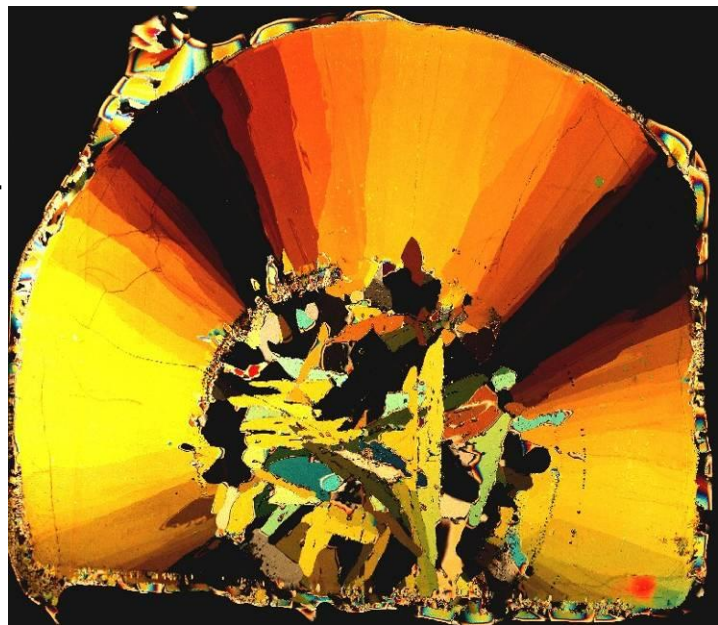
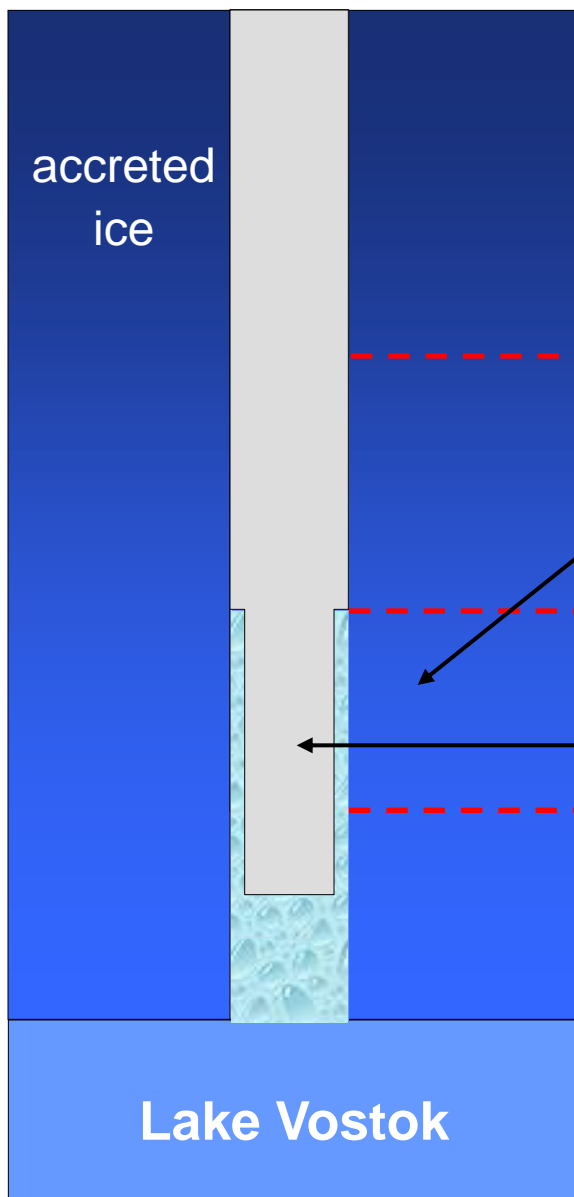
3600

23

Première pierre
dans la carotte

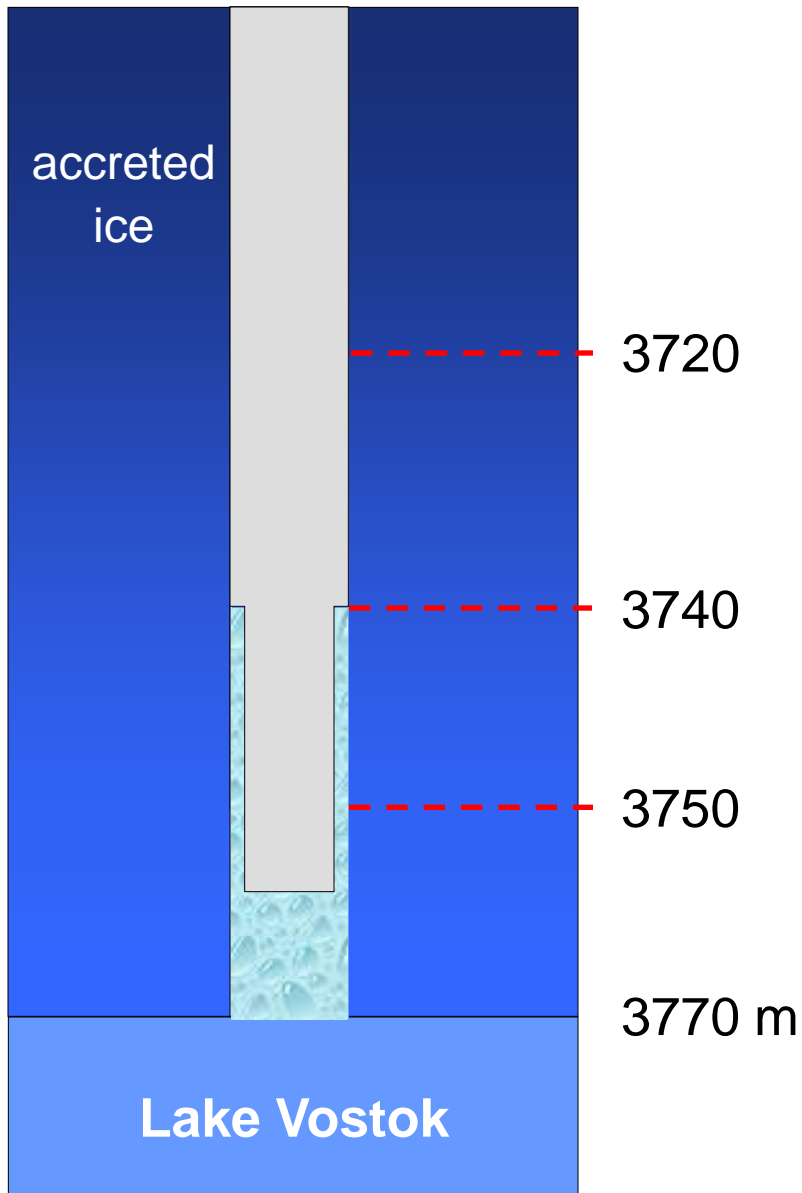
→ **Первый канец
вокруг ВОСТОКА**

Borehole 5G-2



11 cm

Borehole 5G-2



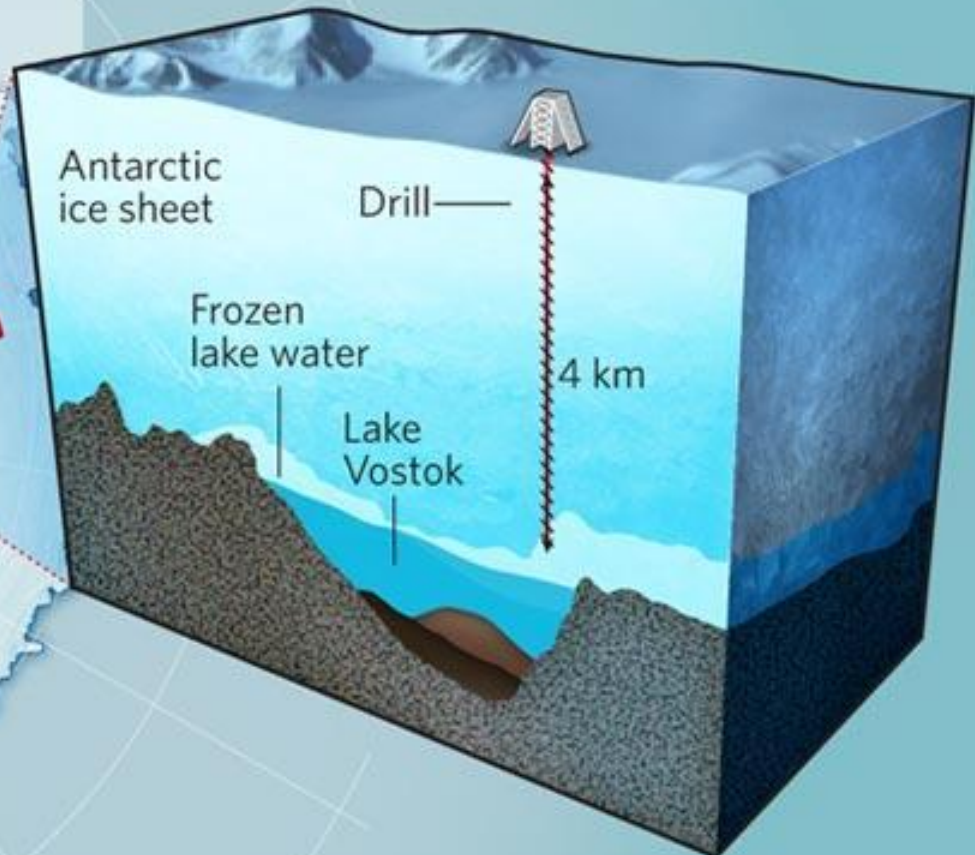
What next?

2011/12
Antarctic season:
Drilling of the frozen
lake water

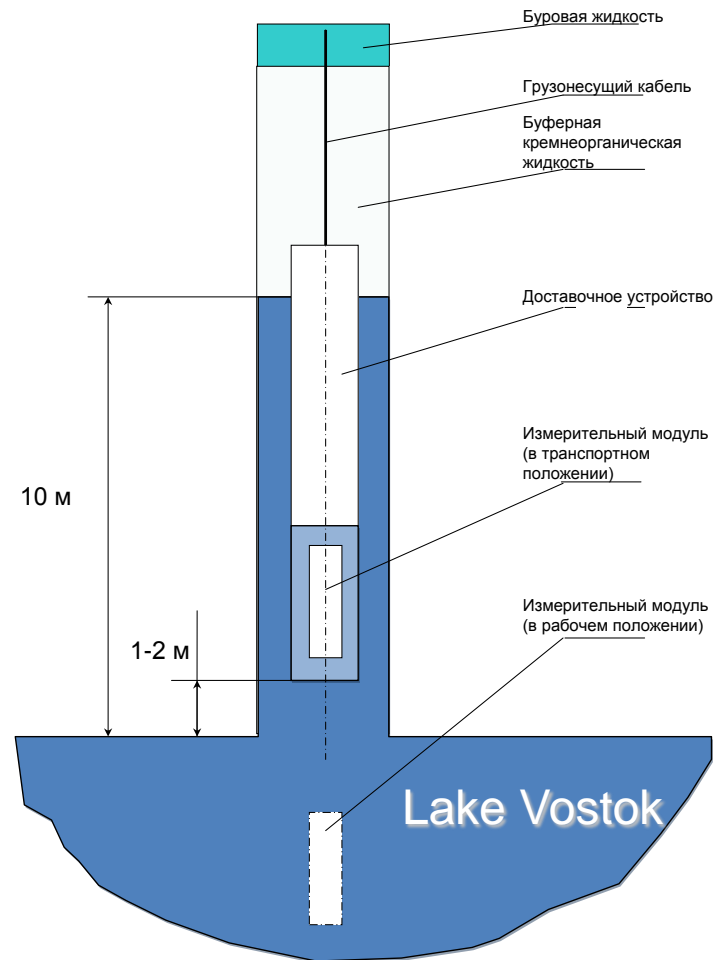
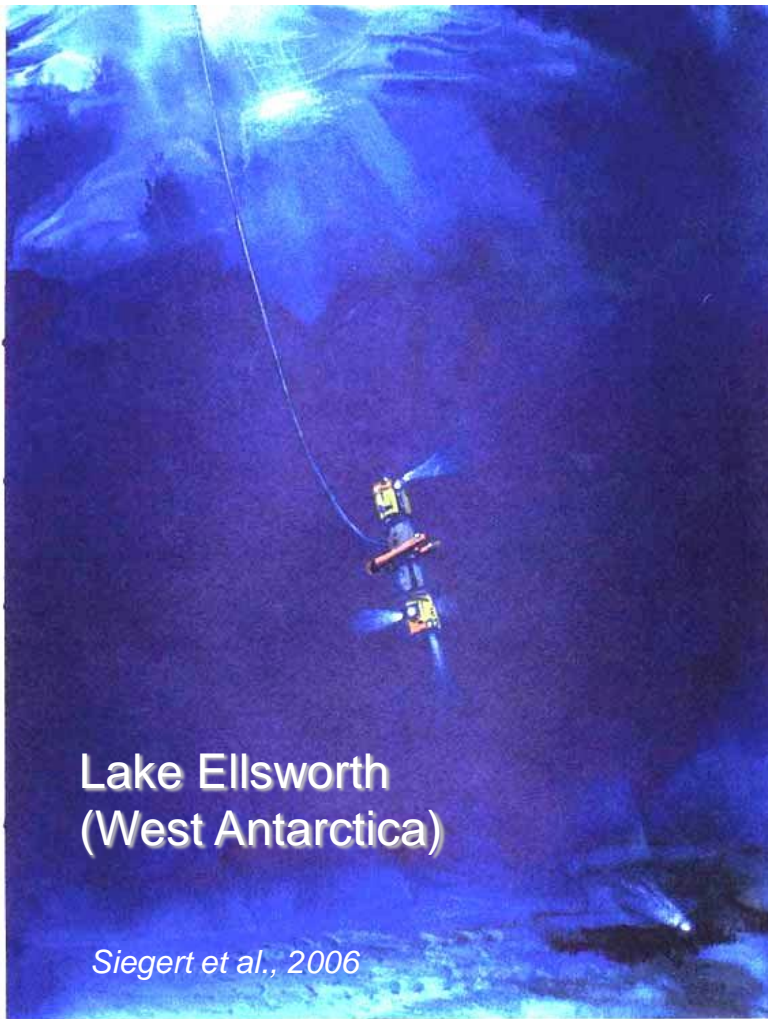
"Teams set for first taste of Antarctic lakes", Nature, 2010

WATER BELOW THE ICE

Three countries plan to drill through the Antarctic ice sheet to explore hidden lakes. Russian researchers hope to reach Lake Vostok next year.



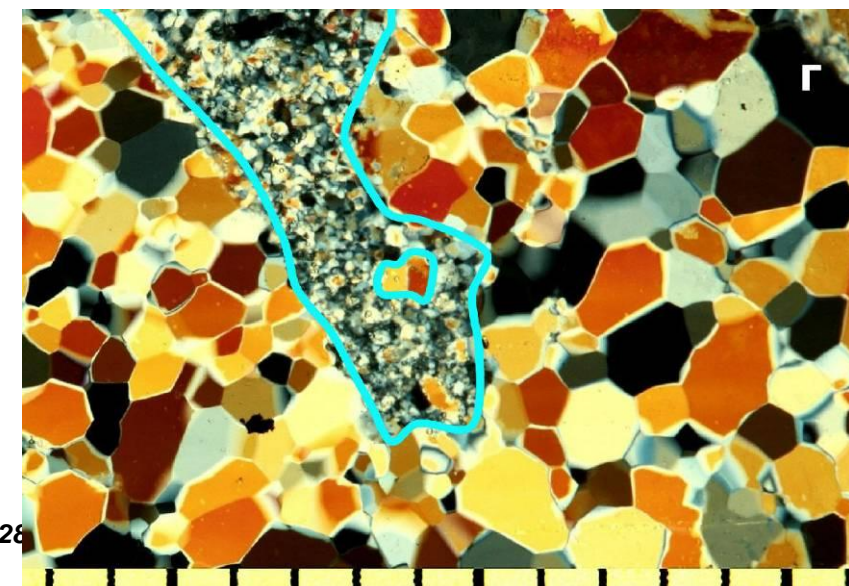
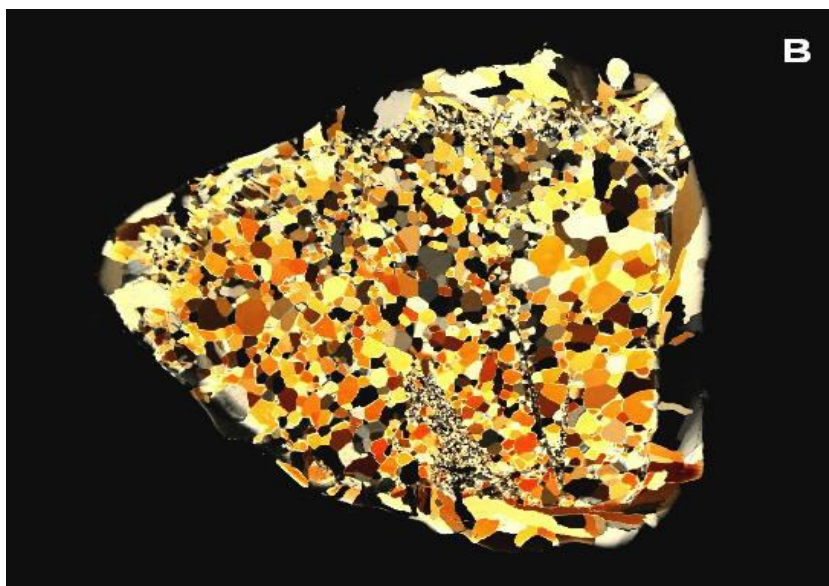
“Second penetration” to LV: direct measurements and water sampling



Thank you!



Problem N1: “The warm ice”





Problem N2: big ice crystals make the core breakoff difficult

